

京都大学防災研究所 正員 下島栄一
京都大学防災研究所 正員 石原安雄

1.はじめに：雨が地面上に降るとその全部あるいはその一部は地中の空気と交換しつつ浸透していく。この交換機構を解明して浸透現象を理解するためには、底部を開いた円筒に気乾状態の砂柱を作り、その上部より給水することによって実験を行ってきた。その結果、湛水浸透の場合、空気は間歇的にまた連続的に外界に放出され、また浸透水は浸透面直下での飽和に近い領域（これを擬似飽和域と呼んだ）とその下部に連なる比較的水分の小さな領域とを形成しつつ下部に移動していくことが判った。そこで、本論文はこの擬似飽和域の形成や空気の放出機構を知るために簡単なモデル実験を行いつつ結果を砂層浸透の場合に演繹して考察した結果の報告である。

2. 実験方法：そのモデルは内径 0.5, 0.8, 1.0, 1.2, 1.5, 1.8, 2.0 mm の気乾状態のまっすぐなガラス管を 2 本選び、それらを小さな U 字形のガラス管に接続して高さがほぼ 130 cm となる U 字管を作り鉛直に立てた。浸透流体として赤色に着色したアクリセルを用い、また実験に際しては常に U 字管上にほぼ 4 cm の液体 (h_f) があるようにならし、計測は液体の移動と U 字管の底部での空気圧について行い、それ写真機と半導体方式の圧力変換器によった。

3. 実験結果：図-1 は内径 0.5 mm と 0.8 mm の U 字管による結果である。液体の移動距離 (x_f) と空気圧 (p) の時間変化を、さらに図-2 は空気が放出される部分の空気圧

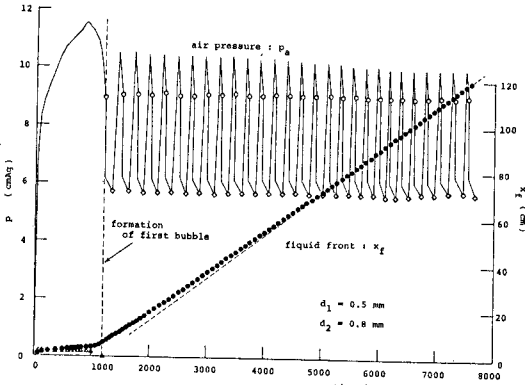


図-1. 液体の移動と空気圧の時間変化

変化の詳細を示している。この場合 0.8 mm の管より空気が放出されるが、以下では空気が放出される管の内径を d_2 、他のものを d_1 と記す。これらは実験中の観察より次のことが判った。すなわち、①実験の開始と同時に両方の管に液体が浸透し、その結果空気圧は急増する。②時間とともに、 d_1 の管の液体は下部への移動を続けるが、 d_2 の管ではその移動が一旦止り、その後上部に向って移動を始めます。その間の空気圧は増加率が次第に減少し、ある時点より減少を始めます。③上部に向って液体と気体との境界面が先端に達したとき、空気圧の急減とともに気泡が管の上方に形成され始め、それがある大きさになると同時に空気が放出される。それと同時に空気圧は急増しますが、 d_1 の管の液体はそれまでの緩慢な移動より不連続的に速度を増して動き出します。④以下、同様な過程で気泡の形成・放出が繰返されます。最初の気泡放出に比して、以後は比較的容易に放出されます。なお、図-2 で示したように、気泡が形成される時点、放出される時点の空気圧を p_a 、 p_b とし、最初の気泡の場合は p_a に対する $p_{a,i}$ と記す。

図-3 は種々の実験での p_a の値をその際の d_2 を変数によりそれと黒丸で示し、また脱水過程の土柱法と同様な方法で求めた各径の管の毛管上昇高 (h_{cf}) に h_f を加えて水柱単位に換算した値 (p_a) を白丸で示したものである。この図で d_2 を固定したときは黒丸は種々の d_1 を有するが、 $d_1=1$ は実験なく $p_{a,i}$ は一定となり、また $p_{a,i}$ はほぼ p_a の値と一致する事が判った。

次に p_a 、 p_b が気泡の放出間隔 (T) と $d_1=2\text{mm}$ 、 $d_2=1\text{mm}$ の場合、 $d_1=2\text{mm}$ 、 $d_2=0.8\text{mm}$ の場合につい

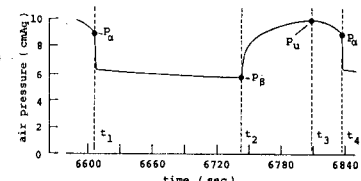


図-2. 空気圧変化の詳細図

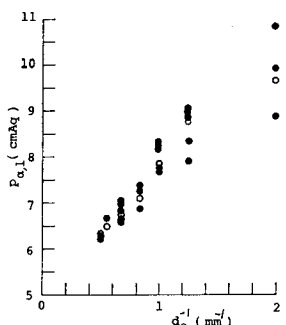


図-3. d_1 と d_2 の実験

て調べたのが図-4、図-5であり、時間原点を空気圧が $P_{a,1}$ となる点にとつている。即ち、各の時間変化の形態は一般に図-1、図-4、図-5の3つの場合に分類される、すなはち、(1) P_a は変化せずほぼ $P_{a,1}$ に等しく、 P_B もほぼ一定の場合、(2) P_a は時間とともに増大した後ほぼ一定値となるが、 P_B はほぼ一定の場合、(3) P_a は増大を続け、 P_B は一旦増大しその後減少する場合である。また管径の組合せを調べてみると、(1)の場合を黒丸で、(2)の場合を白丸で、(3)の場合を黒三角で示した図-6のようだ、各場合の境界ははらはらして明確ではないが、(1)の場合は $d_2/d_1 \geq 1$ 、(3)の場合は $d_2/d_1 < 1$ 、(2)の場合は(1)と(3)の場合の中間的である、とは、いふ。なお、図中の破線は 45° の線を示す。 $\gamma = 2$ 、また γ について考慮する。(2)の場合は(1)の場合に比べ空気が放出された d_2 の管内の液体の移動が激しいために、気泡が形成され始める際の接触角に動的影響が入るところためだと考えられる。一方(3)の場合は明確ではないが、ある空気圧に対し d_2 の管の気泡の放出強度は限界がある、 γ のため圧縮が続々空気圧が増大しつづけると考えられる。結果、実験結果より(1)、(2)の場合は $P_a \approx P_B \approx \gamma$ と考えてよく、気泡の形成は静的な毛管上昇高(γ)によって説明できるといつてもよいようである。

4. 結果の砂層浸透への適用：図-7は、粒径が 0.15 mm 程度のほぼ均一な砂を $1.$ で述べたようにして約 $120\sim170\text{ cm}$ の砂柱を作り、その表面上に常に一定の湛水深(h_w)を作り、実験を行った際の円筒下端での空気圧($P_{a,1}$)から $P_{a,1}$ を差引いた圧($P_{a,1}$)の比較的浸透初期の変化を示してある。これより変化の様子は、(i)湛水直後の急激な増大部分、(ii) $P_{a,1}$ が $20\sim30\text{ cmHg}$ となる、以後の平均的にみて増加割合が小さな部分、(iii) (i)と(ii)の遷移的な部分とに区分できるが、その際の空気の放出は、(i)の場合にはほとんど行はわれない、(ii)の場合には比較的活発に行われる、(iii)の場合には(iii)の場合程ではないが活発に行われる、という様子が観察されている。 $\gamma = 2$ 空気圧の変化の様子を図-1と比較すると、(i)は①、(ii)は④、(iii)は②に相当すると考えると、(i)と(ii)を区分する $P_{a,1}$ の値は capillary fringe の高さ(h_c)となるはずである。事実、粒度砂の h_c の値を調べるとほぼ 2.5 cmHg となる、この $P_{a,1}$ の値と大略一致している。一方、円筒の底部を大気に開放した上述と同様な湛水実験での観察

によると、浸透初期には浸透面より空気が放出されないと、また同じ砂での水分の再配分実験によると、擬似飽和域が消滅する際の $P_{a,1}$ はほぼ 30 cmHg となること、この領域は空気の放出に付しだきな抵抗とはならないことが判っている。以上より(i)から(iii)での空気放出の様子が理解でき、また(iii)で擬似飽和域が形成され、(ii)でこれが発達する段階であることは(3)が想定される。一旦この領域が形成された後は空気の連続的、周期的放出が現れる。現象を連続事象として簡略化すれば、(3)の場合は空気の境界条件として(3)の場合を考える必要がある、 $P_{a,1}$ に応ずる

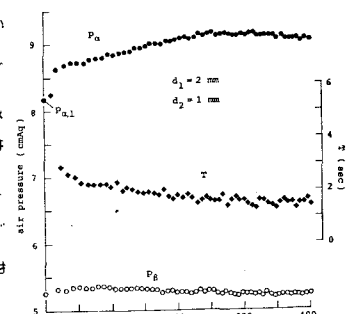


図-4. P_a , P_B , T の時間変化

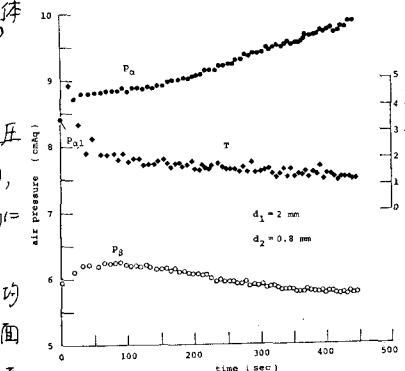


図-5. P_a , P_B , T の時間変化

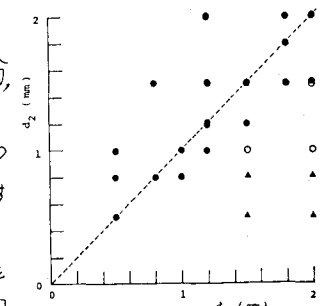


図-6. 管の形態区分図

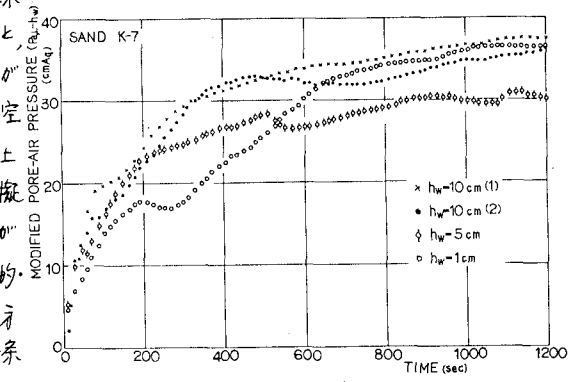


図-7. 砂層湛水浸透の場合の空気圧変化

ものにして γ をとればよいと思われる。《参考文献》1)石原・下島: 土防災研究, 1979. 2)Elliot & Riddiford: J. Colloid & Interface Sci., 1967.